

تعیین اطلاعات مورد نیاز در تصویربرداری از خورдگی‌های لوله‌های نفت

حسین روان‌بد (استادیار)

پژوهشکده الکترونیک، دانشگاه صنعتی شریف

فریدون بهنیا (استادیار)

دانشکده‌ی مهندسی برق، دانشگاه صنعتی شریف

علی جلالی (دانشجوی کارشناسی ارشد)

دانشکده‌ی مهندسی کامپیوت، دانشگاه صنعتی شریف

به منظور آزمون غیرمخرب لوله‌های نفت، یک سیستم تصویربرداری ماورای صوت با استفاده از جریان نفت در داخل لوله‌ها حرکت کرده و با استفاده از مبدل‌های مناسبی که بر روی آن تعییه شده است وجود و موقعیت نقاط خوردگی در طول لوله را اندازه‌گیری می‌کند. با استفاده از اطلاعات جمع‌آوری شده، می‌توان پس از تعیین موقعیت نقاط بحرانی موجود در طول مسیر، به رفع مشکلات احتمالی پرداخت. در این روش از تأثیر رفت و برگشت پالس ماورای صوت برای اندازه‌گیری موقعیت یک ناپیوستگی در لوله استفاده می‌شود. انعکاس امواج ماورای صوت از ناپیوستگی‌های لوله، تعیین‌کننده‌ی وضعیت دیواره‌های داخلی و خارجی لوله و در نهایت ضخامت دیواره‌ی لوله است. کاهش ضخامت دیواره در هر ناحیه نشان‌دهنده‌ی وجود خوردگی در آن ناحیه خواهد بود. در این پژوهش، ابتدا مسائل زیربنایی تصویربرداری با استفاده از سیگنال ماورای صوت و عوامل مؤثر در اندازه‌گیری برای نیل به دقت مورد بررسی قرار می‌گیرند. سپس قدرت تذکیک عمق خوردگی، پهنای باند مبدل ماورای صوت، قدرت تذکیک طول خوردگی و پریود نمونه‌برداری یک مبدل از لوله را در راستای طولی تعیین و استخراج می‌گردد. با توجه به طراحی انجام شده و تأیید نتایج توسط شبیه‌سازی، می‌توان از نتایج این پژوهش در زمینه‌ی طراحی و انجام‌بزیری سیستم تصویربرداری از لوله‌های نفت استفاده کرد.

مقدمه

در این نوشتار اطلاعات مربوط به سطح و عمق خوردگی موجود در لوله‌های نفت، که اطلاعات اصلی به شمار می‌آیند، مورد بررسی قرار می‌گیرد. دقت اندازه‌گیری و معتبربودن تصویر، بر کیفیت پردازش تصویر و تشخیص نقص تأثیر اساسی دارد.^[۱-۶] ابتدا به منظور به دست آوردن دقت تذکیک مورد نظر، پهنای باند لازم مبدل ماورای صوت محاسبه می‌شود. آنگاه به منظور تشخیص خوردگی‌ها و تخمین ابعاد آنها، دوره‌ی تناوب نمونه‌برداری مکانی در راستای لوله محاسبه می‌شود. همچنین قدرت تذکیک لازم روی محیط لوله با محاسبه‌ی فاصله‌ی جانبی دو مبدل در راستای کمراه تعیین می‌شود. سپس با بررسی روش‌های تحریک مجموعه مبدل‌ها، روش بهینه مشخص می‌شود. پس از بررسی تأثیر ناصافی سطوح در دقت اندازه‌گیری، با توجه به اثرات تغییرات شدت میدان در میدان‌های دور و نزدیک مبدل، فاصله‌ی بهینه‌ی مبدل از دیواره‌ی داخلی محاسبه می‌شود. تصویربرداری خام از تمامی لوله به حجم بسیار زیادی از حافظه نیاز دارد. ابتدا فقط اطلاعات مربوط به قسمت‌های ناسالم لوله در نظر گرفته می‌شود و سپس با استفاده از الگوریتم‌های رایج فشرده‌سازی حجم اطلاعات تا حد امکان کاهش می‌یابد. همچنین اطلاعات مربوط به دما، فشار و موقعیت نقص در لوله، که حجم کمی اطلاعات لازم و موثر در تصویربرداری سیگنال ماورای صوت، با سطح و عمق نقص و همچنین با مکان نقص در لوله و اطلاعات محیطی (فشار و دمای موجود در نقطه‌ی اندازه‌گیری) در ارتباط است.^[۷-۹]

محاسبه‌ی پهنه‌ای باند مبدل براساس طیف ایده‌آل (هموار) پیش شرط لازم برای محاسبه‌ی پهنه‌ای باند این است که دامنه‌ی قله‌ی پالس باید دستکم ۲ برابر دامنه‌ی آن در نقطه‌ی نمونه‌برداری بعدی باشد. (این شرط با لحاظ کردن شرایط نویزی محیط و به عنوان شرط ساده‌بی که تحقق آن بدون توسل به پردازش‌های پیچیده میسر است، مورد استفاده قرار گرفته است). بعبارت دیگر، نقاط نمونه‌برداری علاوه‌ی هیچ‌گاه به طور کامل در قله‌ی پالس قرار نمی‌گیرند پس این شرط در مورد نزدیک‌ترین نقطه‌ی نمونه‌برداری به قله‌ی پالس و نقاط نمونه‌برداری مجاور آن مورد بررسی قرار می‌گیرد.

در حالت طیف هموار پاسخ بسامدی مبدل به صورت هموار و پوش پاسخ زمانی آن به صورت تابع زیر در نظر گرفته می‌شود:

$$P_e(t) = B \frac{\sin \pi Bt}{\pi Bt} \quad (2)$$

حال اگر اولین نمونه در $t = 0$ و دومی در $t = T_s$ گرفته شوند رابطه‌ی ۳ را خواهیم داشت:

$$\frac{P_e(T_s)}{P_e(0)} \leq \frac{1}{4} \Rightarrow B \geq 9 \text{ MHz} \quad (3)$$

اگر اولین نقطه‌ی نمونه‌برداری به جای انطباق بر قله‌ی پالس در نقطه‌ی t و نقطه‌ی دومی در $t + T_s$ باشد، یکی از دو حالت زیر رخ خواهد داد.

الف) اگر $\frac{1}{B} < t$ ، آنگاه هر دو نقطه‌ی نمونه‌برداری در لب اصلی قرار می‌گیرند و به ازاء $T_s \geq \frac{1}{B}$ خواهیم داشت:

$$\frac{P_e(t + T_s)}{P_e(t)} \leq \frac{1}{2} \quad (4)$$

ب) اگر $\frac{1}{B} < t < T_s$ ، آنگاه در لب دوم قرار می‌گیرد. بدترین وضعیت در این حالت زمانی رخ می‌دهد که بیشترین انحراف t از قله‌ی پالس اتفاق می‌افتد و نتیجاً $t + T_s$ به قله‌ی دوم پالس نزدیک‌تر می‌شود. در این حالت خواهیم داشت:

$$\left| \frac{P_e(t + T_s)}{P_e(t)} \right| = \left| \frac{P_e(2T_s)}{P_e(T_s)} \right| \approx 0.31 < \frac{1}{2} \quad (5)$$

پس در هر حال رابطه‌ی ۳ برآورده خواهد شد. همچنین محاسبات مشابه در حالت طیف گاوی نشان می‌دهد که اگر $B \geq 4,65 \text{ MHz}$ آنگاه شرط مذکور ارضاء می‌شود. [۴۳]

پریود مکانی نمونه‌برداری تک مبدل از لوله در راستای طولی

بسامد مکانی نمونه‌برداری در راستای طول به نحوی محاسبه می‌شود تا سیستم تصویربرداری قادر به تشخیص خودگی‌هایی با قطر حداقل 10 mm باشد (شکل ۲).

از حافظه را اشغال می‌کنند، محاسبه می‌شود. در چندین شبیه‌سازی به منظور تشخیص نقص در لوله، تحقق پارامترهای محاسبه‌شده مورد بررسی قرار می‌گیرند.

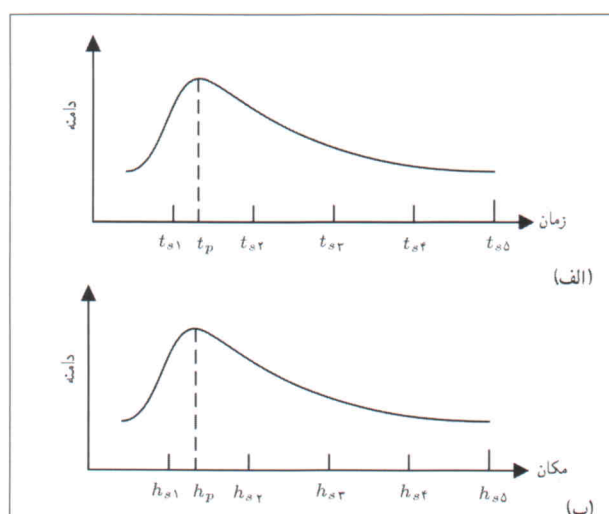
محاسبه‌ی قدرت تفکیک اندازه‌گیری عمق

محاسبه‌ی پهنه‌ای باند مبدل به ازاء قدرت تفکیک

به وسیله‌ی مبدل ماورای صوت یک بسته انرژی به طرف دیواره‌ی لوله ارسال می‌شود که پس از برخورد به دیواره‌های داخلی و خارجی لوله بازتاب می‌شود. با توجه به نمونه‌برداری انجام شده از سیگنال بازگشته در گیرنده در فواصل زمانی معین، و با توجه به اینکه فاصله‌ی دیواره‌های داخلی و خارجی تا مبدل از قبل مشخص نیست، قله‌ی پالس دریافتی نسبت به نقاط نمونه‌برداری از موقعیت تصادفی برخوردار خواهد بود. اگر لحظات نمونه‌برداری را با t_{s_i} و نقطه‌ی اتفاق افتادن قله را با t_p نشان دهیم، باید یکی از t_{s_i} ها را به عنوان t_p در نظر گرفت (شکل ۱ الف). همچنین می‌توان با توجه به رابطه‌ی $Vt = 2h$ زمانی را برگستره‌ی مکانی نگاشت. [۴۲]

در شکل ۱-ب) اگر فاصله‌ی نقاط نمونه‌برداری برابر 2^{mm} در نظر گرفته شود، خط کمتر از $2^{mm} \pm 0.2^{mm}$ و قابل قبول است. حال با جایگذاری $\frac{m}{s} \cong 6000$ (V_s سرعت موج در فولاد) در رابطه‌ی 1 بسامد نمونه‌برداری به دست می‌آید.

$$f_s = \frac{1}{T_s} = \frac{V_s}{2|\delta h|} = \frac{6000 \frac{m}{s}}{2 \times 0.2^{mm}} = 15 \frac{M Samples}{sec} \quad (1)$$



شکل ۱. الف) زمان رسیدن قله‌ی پالس در گستره‌ی زمانی؛ ب) زمان رسیدن قله‌ی پالس در گستره‌ی مکانی.

که در آن D قطر مبدل، f بسامد کاری مبدل، V_s سرعت موج در فولاد و θ زاویه بین خط واصل نقاط افت ۱۰٪ در میدان دور مبدل با خط محور مبدل است.

حال می‌توانیم واریانس توزیع میدان را در دیواره خارجی لوله به دست آوریم. قطر پرتو روی دیواره خارجی لوله برابر است با:

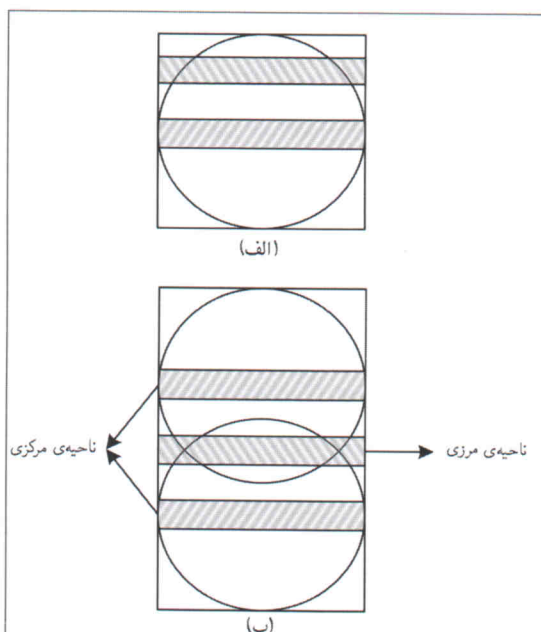
$$D_{EW} = D + 2W_t \tan \theta \quad (7)$$

که در آن D قطر مبدل، θ زاویه بین خط واصل نقاط افت ۱۰٪ در میدان دور مبدل با خط محور مبدل، W_t ضخامت دیواره لوله و D_{EW} قطر پرتو روی دیواره خارجی است. از آنجا که قطر محاسبه شده فوچ قطر ۱۰٪ پرتو است خواهیم داشت:

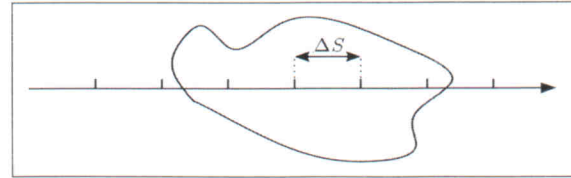
$$e^{-\frac{D+W_t \tan \theta}{\tau \sigma^2}} = 0,1 \Rightarrow \sigma^2 = \frac{(D + W_t \tan \theta)^2}{4,6} \quad (8)$$

حال برای ΔL مقداری را قرار می‌دهیم که در مربع تحت پوشش هر مبدل، نواری که توان دریافتی آن به کمتر از نصف توان نوار مرکزی رسیده، توسط نوار مبدل مجاور روشن شود (شکل ۳ ب). به عبارت دیگر، مرز جداکننده دو ناحیه، مرز نیمه‌توان باشد.^[۷] بنابراین:

$$\int_{-R}^R \int_{\Delta x_b} e^{-(x^2+y^2)/2\sigma^2} dx dy = \frac{1}{2} \int_{-R}^R \int_{\Delta x_c} e^{-(x^2+y^2)/2\sigma^2} dx dy \quad (9)$$



شکل ۳. (الف) مربع محاط بر مبدل و نوارهای تصویربرداری؛ (ب) موقعیت نسبی مبدل‌ها و نواحی مرکزی و مرزی تصویربرداری.



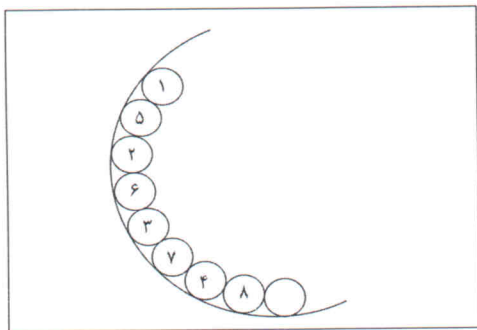
شکل ۲. نمایش مکان نمونه‌برداری طولی و یک خوردگی تصادفی.

اگر ΔS را پریود مکانی نمونه‌برداری طولی و D را قطر مبدل در نظر بگیریم، واضح است که برای پوشش کامل لوله باید $\Delta S \leq D$ باشد. برای جلوگیری از اتفاق انرژی و برای آن که بیشینه انرژی صوتی ممکن وارد خوردگی شود (اگر چه در عمل، به علت تصادفی بودن موقعیت نقاط خوردگی و نقاط نمونه‌برداری، به هر حال بخشی از انرژی تلف خواهد شد) قطر مبدل برابر ΔS در نظر گرفته می‌شود ($\Delta S = D$). بنابراین اگر کمینه‌ی قطر خوردگی قبل تشخیص در سیستم مورد نظر برابر 10 mm باشد، قطر مبدل نیز 10 mm انتخاب می‌شود. در مورد فاصله‌ی نقاط نمونه‌برداری چنین استدلال می‌کنیم که اگر فاصله‌ی مکانی نقطه‌ی نمونه‌برداری زیر مضرب عدد 10 (قطر مبدل) باشد، همواره در هر فاصله 10 mm تعداد ثابتی از نقاط مورد نمونه‌برداری قرار خواهد گرفت. پس فاصله‌ی نقاط نمونه‌برداری را می‌توان 5 میلی‌متر، $3/3$ میلی‌متر، $2/5$ میلی‌متر یا حتی کمتر در نظر گرفت. هر چه این مقدار کمتر باشد درصد خطای موجود در تعیین حدود خوردگی کاهش خواهد یافت، و در مقابل حجم اطلاعات ذخیره شده افزایش می‌یابد و درنتیجه طول قابل بررسی لوله در یک مرحله کاهش می‌یابد. اگر برای پریود مکانی نمونه‌برداری طولی، $2/5\text{ mm}$ در نظر گرفته شود، $\pm 25\%$ خطا در تعیین حدود خوردگی ایجاد می‌شود.^[۴,۵]

فاصله‌ی جانبی دو مبدل و قدرت تفکیک جانبی
اگر D قطر مبدل و ΔL فاصله‌ی جانبی دو مبدل (در روی دایره‌ی مقطع لوله) باشد، باید $\Delta L \leq D$ باشد تا پوشش میدان صوتی برای لوله در راستای جانبی کامل باشد (همه‌ی بخش‌های دیواره تحت تابش انرژی صوتی قرار داشته باشند).

قدرت تفکیک جانبی سیستم توسط ΔL مشخص می‌شود (غالباً قدرت تفکیک جانبی همان ΔL است). اکنون مربع مماس بر مبدل و توزیع انرژی در آن را در نظر بگیرید. این مربع ناحیه‌یی از دیواره لوله است که در یک لحظه‌ی مشخص تحت پوشش مبدل قرار گرفته است (شکل ۳ الف). دیواره خارجی لوله در میدان دور مبدل قرار گرفته و توزیع انرژی مبدل در این میدان به صورت گاوسی است. برای میدان دور مبدل خواهیم داشت:

$$\sin \theta = 1,08 \frac{\lambda}{D} = 1,08 \frac{V_s}{f \cdot D} \quad (6)$$



شکل ۴. ترتیب تحریک مبدل‌ها در یک مجموعه.

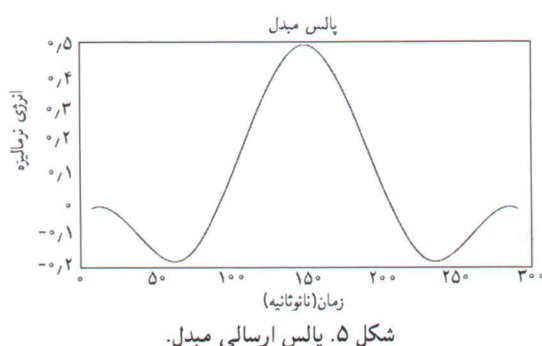
دقت اندازه‌گیری عمق با توجه به ناصافی سطوح
با این فرض که دیواره‌ی لوله‌ها و جداره‌ی داخلی نواحی خورده‌ی
صف است، قدرت تفکیک سیستم در اندازه‌گیری عمق خورده‌ی ها
برابر $2mm \pm 0^{\circ}$ خواهد بود. با فرض برخورد یک پالس گاوی
به یک سطح ناصاف، مجموعه‌ی از پالس‌های گاوی با دامنه‌ها و
تأثیرهای مختلف دریافت خواهد شد. اگر پالس دریافتی از سطح
صف $(t) = g(t)$ باشد، پالس دریافتی سطح ناصاف برابر است
با:^[۸,۲]

$$P_r(t) = \sum \alpha_i g(t - t_i) \quad (13)$$

که در آن α_i و t_i ها متغیرهای تصادفی‌اند و در حالت کلی به دلیل
شیب محلی در نقاطی از سطح $\sum \alpha_i \neq 1$ خواهد بود. در نتیجه
علاوه بر پهن شدن سیگنال در حوزه‌ی زمان، انرژی دریافتی کاهش
می‌یابد.

برای شبیه‌سازی رایانه‌یی توزیع سطح در یک ناحیه‌ی مشخص
به صورت گاوی فرض شده است. شکل پالس ارسالی توسط مبدل
نیز به جای ضربه، گاوی شکل در نظر گرفته شده است. شکل ۵،
پالس حاصل از مبدل را نشان می‌دهد که پهنای باند آن $4MHz$ و
بسامد مرکزی آن $5MHz$ است.

سیگنال $(t) = P_r(t)$ در معادله ۱۳ قله‌های متعددی دارد و بهمین
دلیل نسبت دادن موقعیتی در حد قدرت تفکیک را با ناحیه‌ی مورد
نظر غیرممکن می‌کند.



شکل ۵. پالس ارسالی مبدل.

که در آن Δx_c ناحیه‌ی مرکزی Δx_b ناحیه‌ی مرزی است. با ساده کردن
عبارت فوق براساس رابطه ۸ و شکل ۳ ب خواهیم داشت:

$$\Delta L = 1/1(\frac{D}{2} + W_t \tan \theta) \quad (10)$$

و با توجه به پارامترهای سیستم $\theta = 7,34^{\circ}$ و $W_t = 8,6mm$ خواهد بود.

آرایش تحریک مجموعه مبدل‌ها

به طور کلی به منظور تحریک مجموعه مبدل‌های مجاوری صوت می‌توان
از ۲ روش بهره جست. در روش اول که «روش تحریک موازی» نام
دارد، همه‌ی مبدل‌ها به طور همزمان تحریک می‌شوند اما در روش دوم
یا «روش سری»، مبدل‌ها یکی پس از دیگری تحریک می‌شوند. روش
تحریک موازی در این کاربرد خاص دو اشکال عمدۀ دارد:

۱. به دلیل لزوم تقویت همزمان خروجی تمامی مبدل‌ها، تعداد گیرنده‌های
مورد نیاز به تعداد مبدل‌ها، و نیز تعداد فرستنده‌های مورد نیاز به
تعداد مبدل‌ها (و یا حداقل یک فرستنده‌ی پرقدرت) خواهد بود.

۲. به دلایلی مانند شب‌دار بودن سطح خورده‌ی ممکن است پالس
بازنگشتی مربوط به مبدل توسط مبدل دیگر دریافت شود.

بنابراین دو مشکل یاد شده ما را به این نتیجه می‌رساند که در این سیستم
استفاده از روش «تحریک سری» بهینه است.

اگر N_g نشان‌دهنده‌ی تعداد مبدل‌ها در سیستم، و f_{ts} بسامد
تحریک هر مبدل باشد؛ و نیز t_d تأخیر لازم برای دریافت پالس از
دیواره‌ی خارجی باشد، خواهیم داشت:

$$N_g = \frac{T_{ts}}{t_d} \quad (11)$$

در واقع T_{ts} فاصله‌ی بین دو تحریک متوالی هر مبدل است که
با تقسیم آن بر t_d ، تعداد مبدل‌ها در این مجموعه حاصل خواهد شد.

برای محاسبه‌ی t_d از رابطه ۱۲ استفاده می‌کنیم:

$$t_d = \frac{2S_o}{V_l} + \frac{2W_t}{V_s} \quad (12)$$

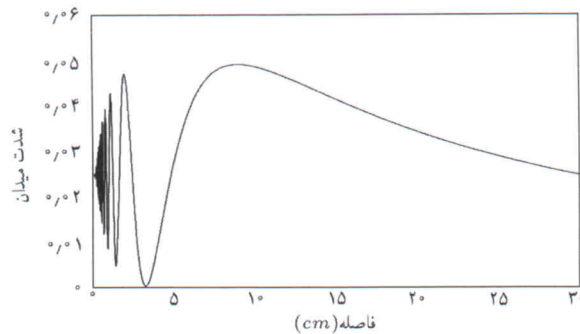
که در آن S_o فاصله‌ی مبدل از دیواره‌ی داخلی، V_l سرعت صوت در
سیال، V_s سرعت صوت در دیواره و W_t ضخامت دیواره است که با
توجه به مشخصات سیستم، $N_g \cong 10^9$ خواهد بود. همچنین برای
هر مبدل از یک فرستنده و یک گیرنده استفاده شده و با استفاده از یک
سوئیچ مناسب، هر بار یک مبدل به این دو متصل می‌شوند.

اگر $N_g < N_t$ ، اجباراً مبدل‌ها به چند دسته تقسیم می‌شوند، که
هر دسته حداکثر شامل N_g مبدل است. در مورد تحریک سری به دلیل
پژواک‌های متوالی سعی می‌شود هیچ‌گاه دو مبدل مجاور به دنبال هم
تحریک نشوند (شکل ۶).^[۴]

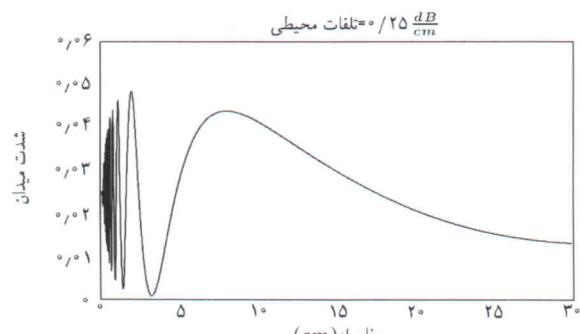
که در آن λ طول موج مورد استفاده، D قطر مبدل، f بسامد کاری مبدل و V سرعت صوت در مایع است. مقدار تقریبی Z با توجه به پارامترهای موجود در سیستم برابر $9/6$ سانتیمتر خواهد بود. ولی در این سیستم باید دو نکته‌ی مهم را مدنظر قرار داد:

(الف) با توجه به تلفات موجود در محیط سیال و تضعیف موجی که در این محیط حرکت می‌کند، طول Z کاهش می‌یابد.

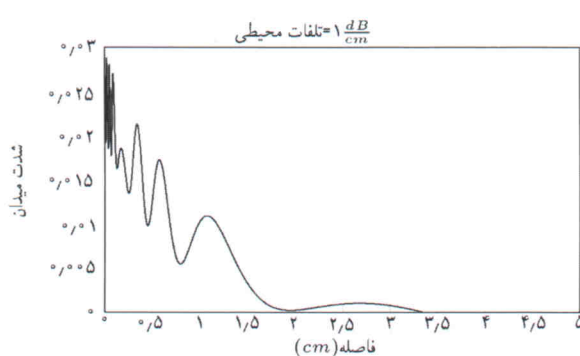
شکل ۸ تغییرات شدت میدان در میدان نزدیک در محیط بدون تلفات، شکل ۹ تغییرات شدت میدان صوتی در میدان نزدیک در شرایطی که تلفات محیط کم است، شکل ۱۰ شدت میدان را در لوله‌ی حامل نفت خام، و شکل ۱۲ همان سیستم را در لوله‌ی حامل نفت گاز نشان می‌دهد. در



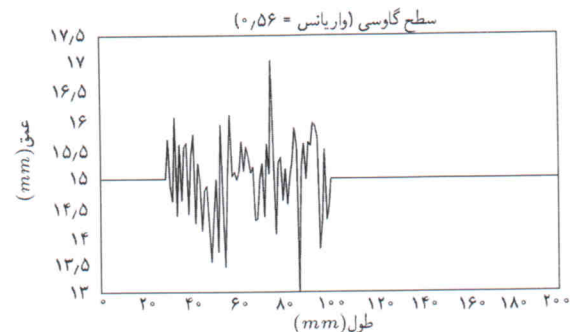
شکل ۸. تغییرات شدت میدان در میدان نزدیک در محیط بدون تلفات.



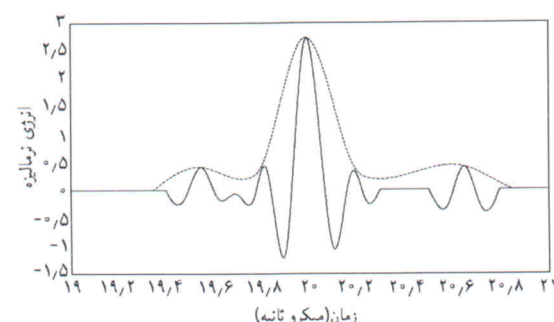
شکل ۹. تغییرات شدت میدان صوتی در میدان نزدیک در محیط کم تلفات.



شکل ۱۰. شدت میدان در لوله‌ی حامل نفت سفید.



شکل ۶. تصویر بزرگ شده‌ی دیواره‌ی داخلی با سطح ناصاف.



شکل ۷. پالس دریافتی از سطح ناصاف متعلق به شکل ۶.

در شکل ۶ یک بخش از دیواره‌ی لوله که ناصافی است، براساس توزیع گاوسی و با مقدار واریانس $\sigma^2 = 56 \text{ mm}^2$ با بزرگنمایی نشان داده شده است. ضمناً برای آنکه امکان تعیین موقعیت پالس‌هایی که به دیواره‌ی ناصاف برخورد می‌کنند نسبت به پالس‌هایی که به دیواره‌ی ناصاف برخورد می‌کنند وجود داشته باشد، فرض بر آن است که نیمی از مبدل در مقابل سطح صاف و نیمی از آن در مقابل سطح ناصاف قرار گرفته است.

در شکل ۷ قله‌های فرعی به صورت کاملاً جدا از پالس مرتع دیده می‌شوند. حذف پالس مرتع از شکل به معنای قرار گرفتن کامل مبدل در مقابل ناحیه‌ی ناصاف است، و در این صورت تشخیص موقعیت واقعی دیواره‌ی داخلی با توجه به تعداد قله‌های فرعی ساده نخواهد بود و خطای بی‌مواتب بیشتر از قدرت تفکیک ایجاد خواهد کرد.

تعیین فاصله‌ی مبدل از دیواره‌ی داخلی

یکی از شرایط اساسی در این سیستم قرار گرفتن دیواره‌ی داخلی لوله در میدان دور مبدل است، زیرا تغییرات میدان در میدان نزدیک بسیار شدید است. طول میدان نزدیک مبدل مأموری صوت از رابطه‌ی تقریبی 14 به دست می‌آید: [۷۶]

$$Z = \frac{D^2}{4\lambda} = \frac{D^2 f}{4V} \quad (14)$$

نخواهد داشت. لذا استفاده از حالت پالسی موجب کاهش اثر تداخلی امواج صادر شده از بخش‌های مختلف مبدل می‌شود این امر موجب کاهش طول میدان نزدیک خواهد شد و لذا حتی می‌توان فاصله‌ی مبدل تا دیواره‌ی داخلی را کمتر از $2,6\text{ cm}$ در نظر گرفت.

حجم اطلاعات

اطلاعات خام (قبل از پردازش اولیه)

اگر L طول لوله‌ی مورد بررسی، ΔS پریود مکانی نمونه‌برداری، N_t تعداد کل مبدل‌ها و n_s تعداد نمونه‌ی گرفته شده به‌ازای شلیک هر مبدل باشد، حجم اطلاعات خام I_u از رابطه‌ی ۱۵ به دست می‌آید:

$$I_u = \frac{L}{\Delta S} \cdot N_t \cdot n_s \quad (15)$$

که در آن n_s برابر است با:

$$n_s = \frac{W_t}{\delta h} \quad (16)$$

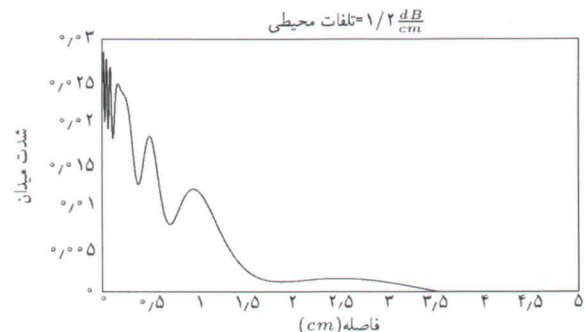
W_t ضخامت لوله و δh پریود مکانی نمونه‌برداری در راستای عمق ضخامت لوله است. اگر 200 کیلومتر طول لوله را با ضخامت $1,7$ میلی‌متر در نظر بگیریم $I_u = 1700 G$ خواهد بود، و اگر هر نمونه را یک بایت فرض کنیم این عدد $1/7$ تراپیت خواهد شد.

حجم اطلاعات پس از پردازش اولیه

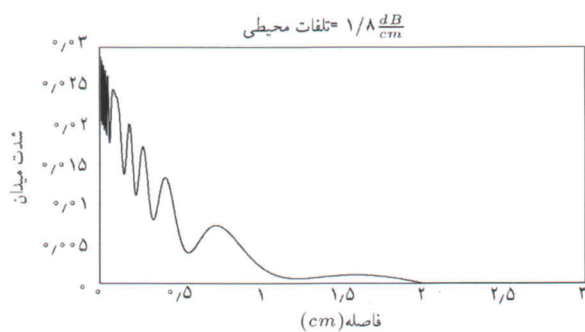
پس از پردازش اولیه و تشخیص موقعیت دو قلمه‌ی پالس (مربوط به دیواره‌ی داخلی و خارجی) مقدار n_s کاهش می‌یابد و در ادامه باعث کاهش حجم اطلاعات خواهد شد. به عنوان مثال برای طول 200 کیلومتر از یک لوله 20 اینچ حجم اطلاعات قبل از پردازش اولیه $1/7$ تراپیت است. از آنجاکه به‌طور معمول تنها 1% از لوله دارای خورددگی قابل ملاحظه است ابتدا با حذف اطلاعات مربوط به قسمت‌های سالم لوله، اطلاعات اولیه 100 برابر کاهش می‌یابد. سپس با استفاده از روش‌های معمول فشرده‌سازی، اطلاعات به 480 مگابایت کاهش می‌یابد.^[۱] البته این حجم اطلاعات فقط لزوم فشرده‌سازی و پردازش داخل لوله را توجیه می‌کند. بحث فشرده‌سازی خود موضوعی مستقل از این پژوهش است.

حجم اطلاعات فاصله

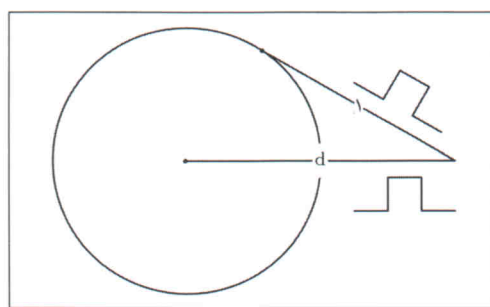
برای به دست آوردن فاصله‌ی طی شده توسط سیستم عیوب‌یاب هوشمند از چرخ‌های ادومتر (فاصله‌سنجد) استفاده می‌شود به طوری که با هر دور چرخش، ادومتر یک یا چند پالس تولید می‌کند که معیاری از فاصله‌ی طی شده خواهد بود.



شکل ۱۱. شدت میدان در لوله‌ی حامل نفت خام.



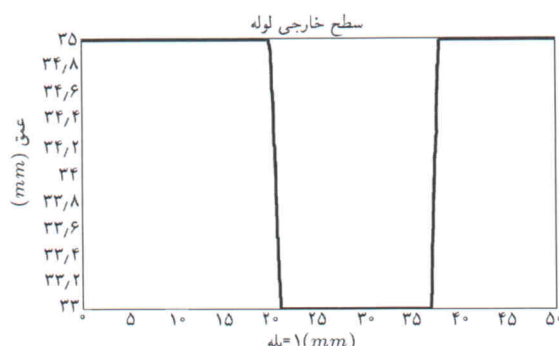
شکل ۱۲. شدت میدان در لوله‌ی حامل نفت گاز.



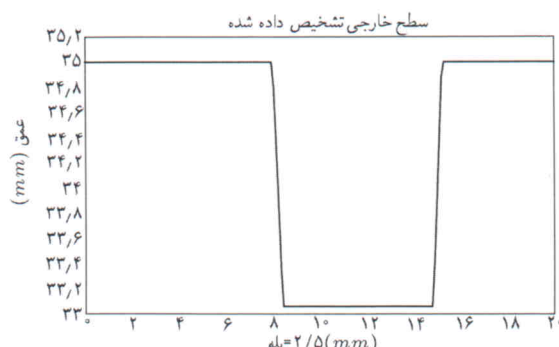
شکل ۱۳. فاصله‌ی مبدل از دیواره‌ی داخلی.

مورد تلفات نفت سفید و نفت خام مزدود میدان دور و نزدیک برابر $2,6$ حاصل خواهد شد. لازم به ذکر است که تمامی شبیه‌سازی‌ها، از نتایج اندازه‌گیری سیگنال‌های ماورای صوت بر روی قطعاتی از لوله که طی یک مسافرت از جنوب کشور آورده شده است، استفاده می‌کنند. از نفت سفید نیز به عنوان سیال استفاده شده است. همچنین تمامی پارامترهای استفاده شده در شبیه‌سازی واقعی‌اند (تابع تبدیل پرآب $k_{H5Krautkramer}$ ، سرعت پخش صوت در فرآورده‌های نفتی...). ب) از آنجا که مبدل به صورت پیوسته کار نمی‌کند میان موج‌هایی که از کناره‌ی مبدل صادر می‌شوند و موج‌هایی که از مرکز مبدل صادر می‌شوند تداخلی به وجود نخواهد آمد.

دو موج مورد نظر فواصل a و d را طی می‌کنند، و اگر تفاوت a و d از عرض مکانی پالس بزرگ‌تر باشد دو جبهه موج شکل ۱۳ تداخل



شکل ۱۶. سطح واقعی خورдگی خارجی.



شکل ۱۷. سطح تشخیص داده شده خوردگی خارجی.

خارجی) اولین پالس دریافتی ضبط شده و بر مبنای آن شکل پروفیل لوله بازسازی می شود.

نتایج شبیه سازی در شکل های ۱۴، ۱۵، ۱۶ و ۱۷ دیده می شود. شکل ۱۴ سطح واقعی خوردگی داخلی، شکل ۱۵ سطح تشخیص داده شده خوردگی خارجی، شکل ۱۶ سطح تشخیص داده شده خوردگی خارجی، و شکل ۱۷ سطح تشخیص داده شده خوردگی خارجی را نشان می دهد. [۱۰ و ۴۳]

نتیجه گیری

با بررسی مسائل زیر بنایی تصویربرداری، پارامترهای اثربخشان‌گیری سیگنال ماورای صوت بهمنظر نیل به دقت مورد نظر در تشخیص خوردگی‌ها تعیین و استخراج شدند. علاوه بر این در هر بخش معیارهای استفاده شده و روش استخراج پارامترها به تفصیل مورد بحث قرار گرفته‌اند. در مرحله‌ی بررسی انجام پذیری و طراحی اولیه سیستم تصویربرداری، پارامترهای اثربخشان‌گیری به همراه شرایط واقعی اندازه‌گیری، بهینه می شوند. به طوری که می‌توان با اصلاح معیار به کار رفته، مقدار جدید کمیت مورد نظر را به سهولت محاسبه کرد. با توجه به طراحی انجام شده و استخراج پارامترهای لازم برای رسیدن به یک اندازه‌گیری مناسب، و تأیید نتایج از طریق شبیه‌سازی، در طراحی و انجام پذیری سیستم تصویربرداری از لوله‌های نفت، می‌توان از نتایج این پژوهش استفاده کرد.

اگر پس از طی مسافت d_0 ، ادومتر یک عدد پالس تولید کند و برای هر پالس شماره و زمان دریافت آن را ضبط کنیم، حجم اطلاعات فاصله پس از طی مسافت L ، از رابطه‌ی ۱۷ حاصل خواهد شد:

$$I_d = 2 \frac{L}{d_0} \quad (17)$$

حجم این اطلاعات به مرتب کمتر از حجم اطلاعات ماوراء صوت خواهد بود. اگر فرض کنیم چنین ادومتر به ازای هر ۴ سانتی‌متریک پالس بدهد، برای طول لوله ۲۰۰ کیلومتر $I_d \approx 5 MByte$ خواهد بود.

شبیه‌سازی بهمنظر تعیین موقعیت طولی خوردگی

در این قسمت نتایج یک شبیه‌سازی را که برای تشخیص موقعیت خوردگی‌های داخلی و خارجی انجام شده است ارائه می‌گردد.

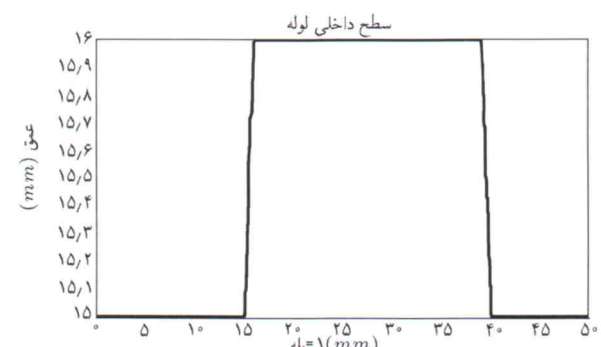
پارامترهای سیستم شبیه‌سازی شده عبارت اند از:

$$V_s = 5800 \frac{\text{m}}{\text{s}} : \text{سرعت صوت در فولاد}$$

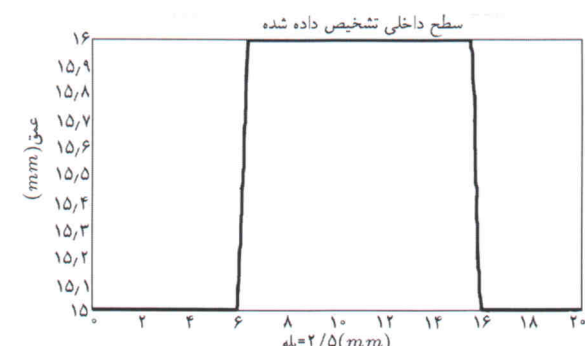
$$V_l = 1300 \frac{\text{m}}{\text{s}} : \text{سرعت صوت در سیال}$$

$$D = 10 \text{ mm} : \text{قطر مبدل مورد استفاده}$$

ΔS : پریود مکانی نمونه‌برداری در راستای طولی = $2/5 \text{ mm}$ است. در هر موقعیت نمونه‌برداری (دریافت پالس از دیواره‌ی داخلی یا



شکل ۱۴. سطح واقعی خوردگی داخلی.



شکل ۱۵. سطح تشخیص داده شده خوردگی داخلی.

منابع

1. Tiratsoo, JNH. "Pipeline pigging technology", 2nd Edition, Gulf Publishing Company, p. 460 (1992).
2. Schmitz V, Kappes W. "Data acquisition and evaluation with microprocessor controlled automated ultrasonic testing system", IEE-Colloquium on Advanced Techniques for Collection and Interpretation of NDT Data, London, (1994).
3. Dunlop I, McNab A. "Automated parameter extraction for ultrasonic flaw analysis", *IEE Proceeding on Science, Measurement and Technology*, **144**, pp. 93-99 (1997).
4. روان بد، حسین. بهنیا، فریدون. تیبانی، محمود. شیبانی، شاهنام. نایی، کامیز... «انجام پذیری سیستم عیوبیاب هوشمند بهمنظور بررسی غیرمخرب لوله‌های نفت»، دانشگاه صنعتی شریف، ۱۰ جلد، ۱۳۷۵-۱۳۷۷.
5. Gunarathne GPP, Zhou Q, Christidis K. "Ultrasonic feature extraction techniques for characterization and quantification of scales in petroleum pipelines," *IEEE Ultrasonic Symposium*, **1**, pp. 859-864 (1998).
6. Ravanbod, H. "Application of neuro-fuzzy techniques in oil pipeline ultrasonic nondestructive testing", *NDT & E International Journal, Science Direct, Elsevier*, **38**, pp. 643-653 (December 2005).
7. Busse, L.J. "Three-Dimensional imaging using a frequency-domain synthetic aperture focusing technique", *IEEE Trans. Ultrason. Ferroelec. Freq. Contr.*, **39**(2), pp. 174-179 (1992).
8. Shmitz V, Kappes W. "Nondestructive acoustic imaging techniques, imaging of complex media with acoustic and seismic waves", *Topic Applied Physics*, **84**, pp. 167-189 (2002).
9. Wadaka S, Nagatsuka T, Misu K, Urasaki S and Koike M. "An ultrasonic pulse compression system for nondestructive testing using complementary series phase modulation", *Japanese Journal of Applied Physics, Suppl.* **29**, pp. 212-214 (1989).
10. Iizuka, Y. Komiya, Y. Nakazawa, S. Nagamune, A. "Real time digital processing of on-line ultrasonic flaw detection", *Industrial Electronics, Control and Instrumentation, IEEE Proceeding*, **2**, pp. 867-871 (1995).